

大阪市立大学 東田淳・中橋貢雄

まえがき

従来の K_0 圧密三軸試験は、圧密時の排水方向が半径方向である点が実際の粘土地盤における一次元圧密と異なる。筆者らは開閉式圧密リングを用いた一次元圧密三軸試験機を作成し K_0 圧密三軸試験との比較を行ってきた。今回は両試験による CU 試験の結果を比較考察する。

装置と実験方法

(1) 一次元圧密三軸試験装置 図-1は今回用いた一次元圧密三軸試験装置で、これまで報告したものと同様に、鉛直に分割された剛性圧密リング①とこれを開閉するための油圧シリンダー②、圧密リングの動きをガイドする柱③、装置全体を吊る装置④、上下載荷板⑤等から構成される。圧密中は圧密リング①は油圧シリンダー②の働きにより一体化され、簡単に一次元圧密を行うことができる。圧密終了後、排水バルブを開じ、軸変位が生じないように軸圧を調整しながら圧密リングを開き、 σ_1, σ_3, u の各測定値から $K_0 = \sigma_3/\sigma'_1 = (\sigma_3 - u)/(\sigma'_1 - u)$ により K_0 値を求めた後せん断過程に入る。なお、供試体と圧密リングの摩擦減衰として実験中は想定される K_0 のより少し低い一定側圧(今回は $0.45\sigma_1$; σ_1 は圧密圧力)を加えるとともに装置全体を吊り装置④の働きにより供試体の軸変位量の $1/2$ だけ強制変位させる。

(2) K_0 圧密三軸試験装置 K_0 圧密三軸試験は供試体周辺の中央高さに取り付けた片持梁式の側方変位計により機械的に側方ひずみが圧密過程中常に厅るように側圧を減少させた。

(3) 評議 表-1に今回実験に用いた3種類の再圧密試料の物理性質を示した。

実験方法

実験条件は表-1

表-2 実験条件と結果

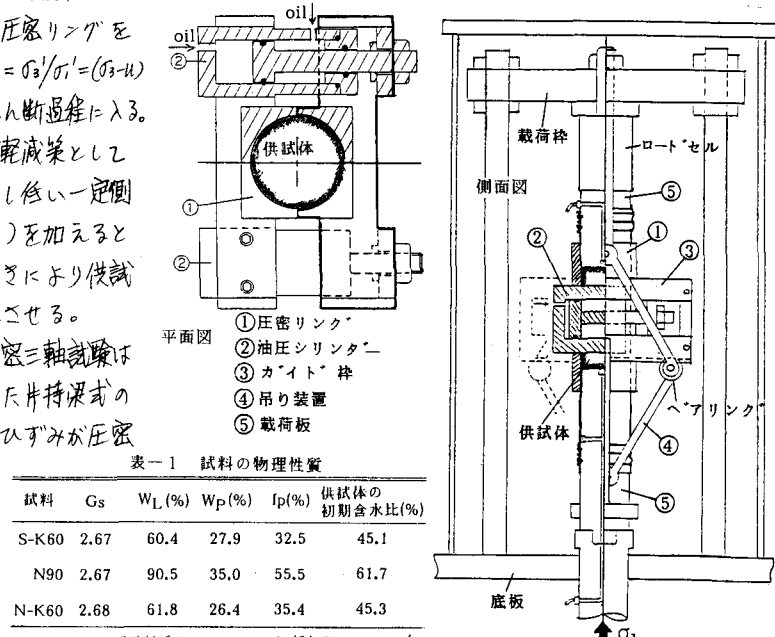
S-K60 大阪南港採取粘土+カオリンを乾燥重量比1:12混合
N90 大阪南港採取粘土 N-K60 N90+カオリン1:1混合

図-1 一次元圧密三軸試験装置

試料	試験法	供試体の寸法(cm)	B P	リューブリケーションの有無	せん断速度	圧密圧力 σ'_1 (kgf/cm²)	時間 (min.)	平均 w (%)	平均 f (%)	K_0	τ_{max} (kgf/cm²)	ひずみ (%)	C_u/p
S-K60	一次元圧密三軸試験	$\phi 4.2 \times h 8.5$	1kgf/cm² 60min. 放置	有り	0.04	2.41	750	33.3	1.89	0.58	0.83	1.5	0.295
	K_0 圧密三軸試験				↓ 0.2%/min.	3.72	690	32.2	1.86	0.58	1.25	1.2	0.282
N90	一次元圧密三軸試験	同上	同上	無し	0.1%/min.	1.81	240	51.3	2.37	0.53	0.69	1.7	0.348
	K_0 圧密三軸試験					3.50	205	43.4	2.16	0.59	1.27	1.5	0.328
N-K60	一次元圧密三軸試験	同上	同上	無し	0.1%/min.	2.00	370	51.7	2.38	0.45	0.71	2.1	0.344
	K_0 圧密三軸試験					4.00	320	44.9	2.20	0.51	1.34	3.2	0.303

合した特殊ゴムを用い、とともに差置合体を内セルに入れ、シリコンオイルを満たして実験を行った。

結果

実験結果を表-2にまとめて示した。また、図-2～4はS-K粘土の場合の一次元圧密並びにK₀圧密三軸試験結果を比較である。これらの図表から以下のことが分かる。

(1) K₀値 表-2に示したK₀値は一次元圧密三軸試験の方がK₀圧密三軸試験よりも1.16～1.30倍とかなり大きい。

(2) C_u/P値 表-2、図-3よりC_u/P値も一次元圧密三軸試験の方が1.05～1.14倍とせや大きい。

(3) 軸ひずみ～時間関係 図-3に示した軸圧縮過程における軸ひずみと主応力差並びに間隙水圧の関係から、一次元圧密三軸試験はK₀圧密三軸試験に比べて主応力差最大時の軸ひずみが小さく、間隙水圧の発生が少ない。両試験の応力経路は図-4のようになつた。

考察

K₀圧密されたS-K粘土供試体の上中下3つの断面上の含水比分布を図-5に示した。供試体の中心部では排水面に近い周辺部よりも常に含水比が2%程度高く、K₀圧密された供試体は一次元圧密の場合のように均一とはならぬ。

K₀圧密では供試体の周辺部から中央部に向かって圧密が進行する。この過程で側圧を減らし供試体の半径方向への収縮を抑え結果、圧密初期には供試体中央部が、圧密終期には周辺部が、これが半径方向に伸張せざるを得ない。このような変形を伴う圧密過程を経ることによって、図-5に示した供試体の不均一性と、一次元圧密の場合よりも小さなK₀値がもたらされたものと考えられる。さらに、一次元圧密、K₀圧密三軸試験におけるせん断特性の相違はK₀圧密された供試体の不均一性によって生じたものと説明される。

なお、先に文献で両試験のC_u/P値

が一致したと報告したが、これは当時の一次元圧密三軸試験装置の摩擦減衰が不完全であったためと考えられる。

謝辞：本稿をまとめにあたり、御指導頂いた大阪市大三笠正人教授並びに実験に協力を得た元学部生甲元正臣氏（東亜建設工業KK）に謝意を表します。

参考文献 1) 東田、有本：新しいK₀圧密三軸圧縮試験について、第36回土木学会年次講演概要集 2) 東田、八谷：一次元圧密三軸試験装置による長期圧密粘土のK₀値の測定、第39回土木学会年次講演会概要集

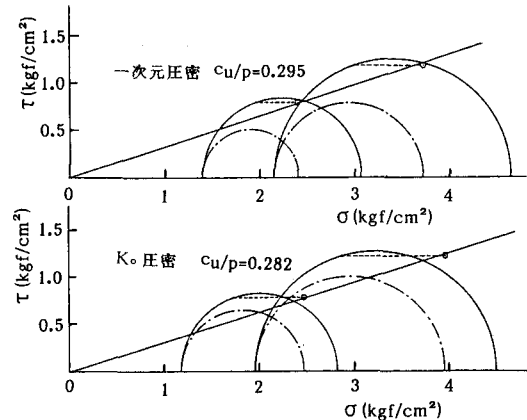


図-2 モールの応力円 (S-K粘土)

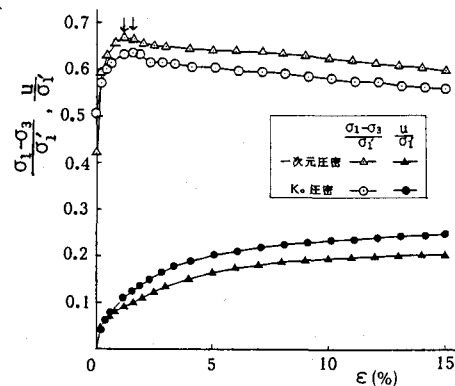


図-3 軸ひずみ-主応力差並びに間隙水圧 (S-K粘土)

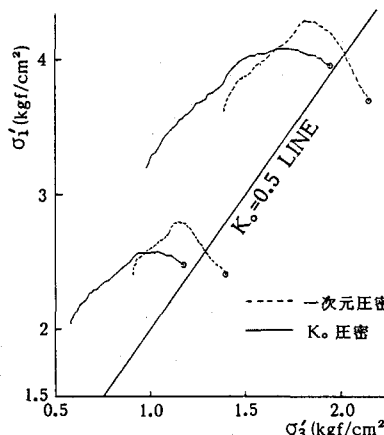


図-4 レンド・リュックの応力経路
(S-K粘土)

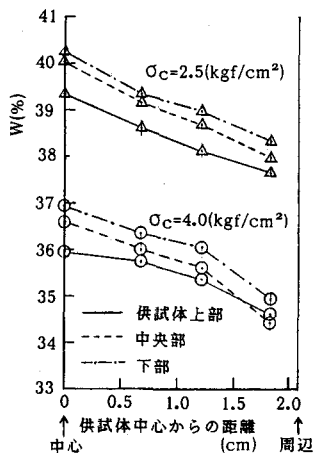


図-5 K₀圧密後の供試体の含水比分布 (S-K粘土)